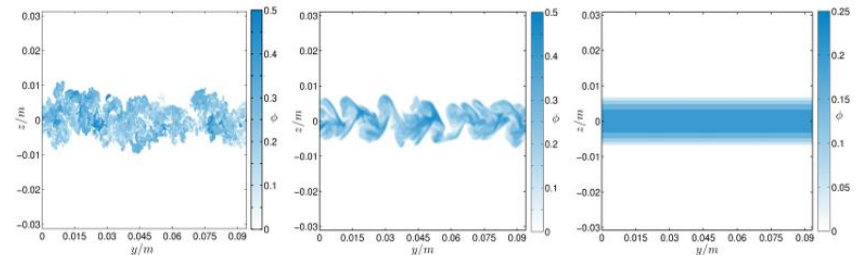


- ▶ Einführung/ Phänomenologie turbulenter Strömungen
- ▶ Statistische Betrachtungsweise  
(Reynolds-gemittelte Navier-Stokes Gleichungen)  
→ Behandlung von Schließungsansätzen
- ▶ Spektrale Sichtweise der Turbulenz
- ▶ **Grobstruktursimulation (Large Eddy Simulation, LES)**

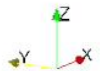
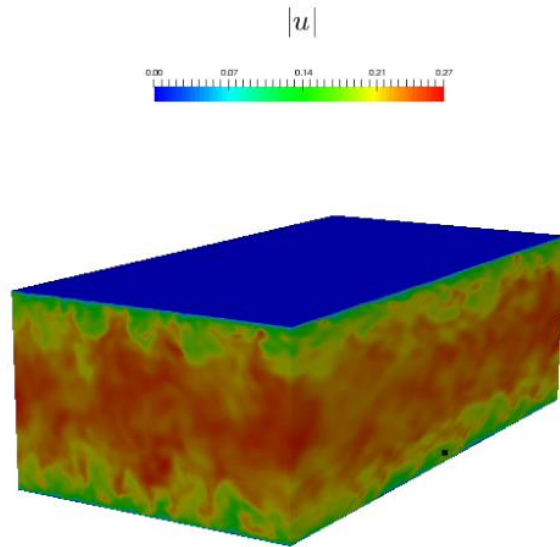




- 12.1 Wandnahe Strömungsstrukturen
- 12.2 Wandauflösende LES
- 12.3 Wandmodellierung
- 12.4 Detached Eddy Simulation (DES)
- 12.5 Zusammenfassung

## 12.1 Wandnahe Strömungsstrukturen

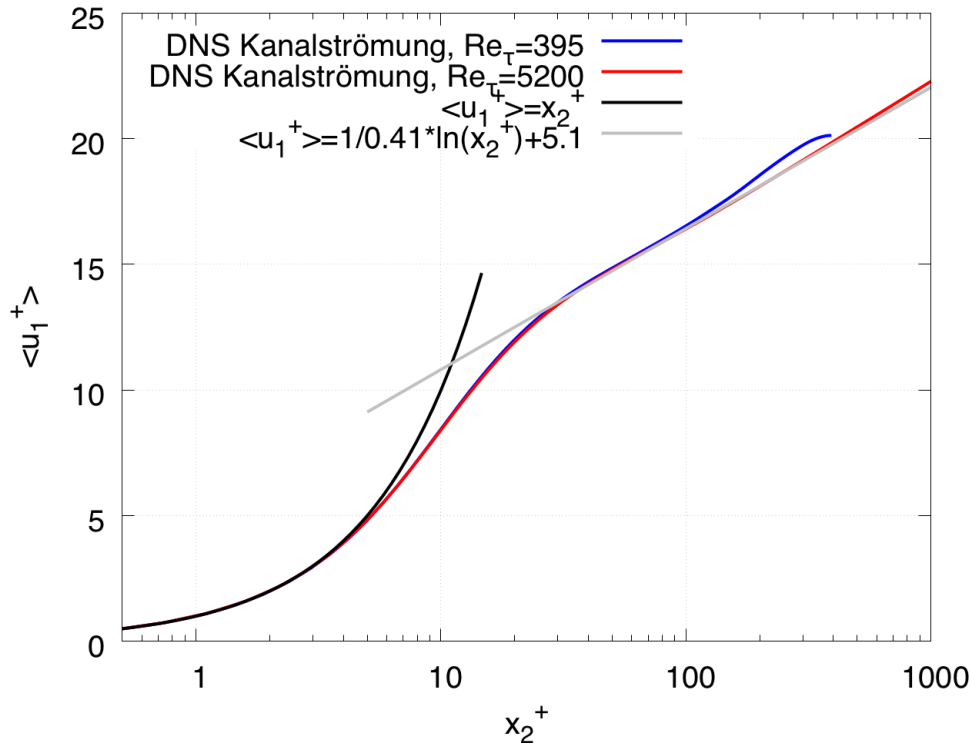
- Struktur der Strömung in Nähe fester Wände weisen Unterschiede freien Scherschichten auf:



$$Re_b = 10745, \nu = 2.0^{-5} \frac{m^2}{s}$$

- Vorhandensein von Wänden begrenzt Ausdehnung in Wandnormalenrichtung
- Dämpfung tangentialer Strömungsstrukturen durch Reibung
- Anisotropie, Inhomogenität

## ► Mittleres Geschwindigkeitsprofil (siehe Vorlesungssatz 3):

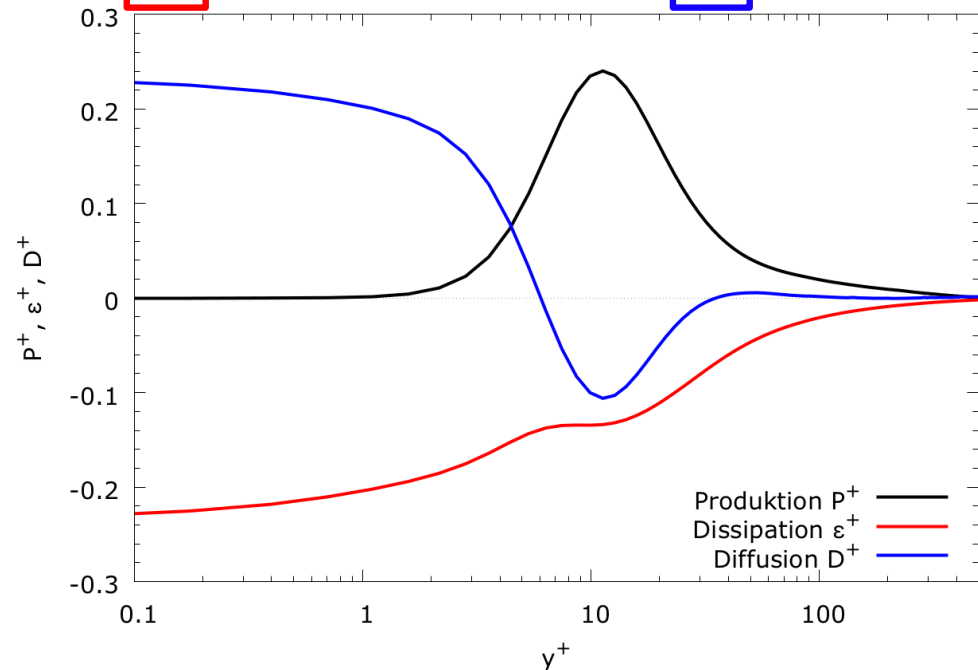


- Linearer Geschwindigkeitsverlauf in viskoser Unterschicht ( $x_2^+ < 5$ )
- Übergangsbereich (Pufferzone/Buffer layer):  
 $5 < x_2^+ < 30$
- Logarithmisches Wandgesetz im Inertialbereich ( $x_2^+ > 30$ )
- Obere Grenze für Gültigkeit des logarithmischen Wandgesetzes abhängig von Strömungsform und Reynolds-Zahl

## ► Budget-Analyse turbulenter kinetischer Energie:

$$\frac{\partial k}{\partial t} + \langle u_j \rangle \frac{\partial k}{\partial x_j} = \underbrace{-\langle u'_i u'_j \rangle \frac{\partial \langle u_i \rangle}{\partial x_j}}_{\boxed{P}} - \underbrace{\varepsilon}_{\boxed{\varepsilon}} + \underbrace{\frac{\partial}{\partial x_j} \left[ \nu \frac{\partial k}{\partial x_j} - \frac{1}{2} \langle u'_i u'_i u'_j \rangle - \frac{1}{\rho} \langle p' u'_j \rangle \right]}_{\boxed{D}}$$

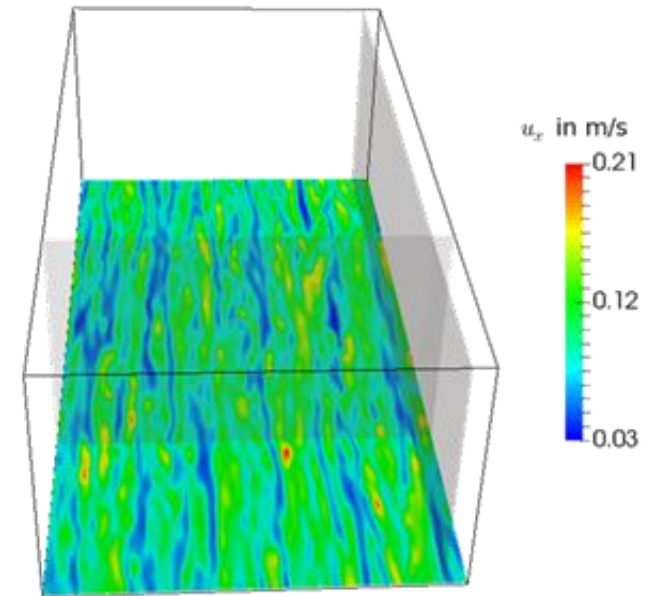
## ► Analyse anhand von DNS Daten einer Kanalströmung bei $Re_\tau = 590$ [1]





- ▶ *Streak Instability Cycle* als Hauptquelle für Produktion in Pufferzone (kleine bis moderate Re-Zahlen) [1]
- ▶ Eigenschaften Streaks [2]:
  - ▶ In Spannweitenrichtung alternierende Strukturen niedriger und hoher Geschwindigkeit in Strömungsrichtung
  - ▶ Bildung in Pufferzone
  - ▶ Ausdehnung:

Spannweitenrichtung	$\lambda_z^+ \approx 100$
Strömungsrichtung	$\lambda_x^+ \approx 1000$

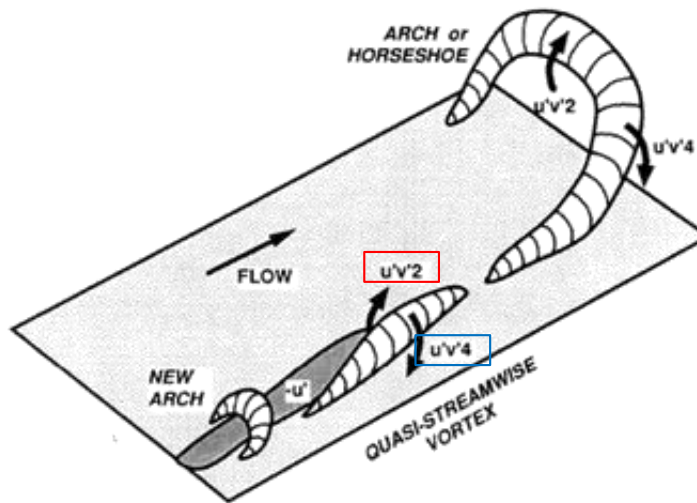


[1]: De Villiers, E.. The potential of large eddy simulation for the modelling of wall bounded flows. Diss. University of London, 2007.

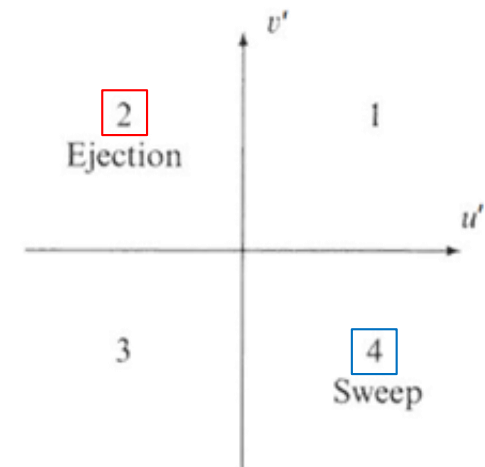
[2]: Cassinelli, A., de Giovanetti, M. & Hwang, Y. 2017 Streak instability in near-wall turbulence revisited. J. Turbul. 18 (5), 443–464.



- ▶ Bildung von Streaks durch Streamwise Vortices
  - ▶ Transport langsamen Fluids weg von Wand (Ejection)
  - ▶ Transport schnellen Fluids hin zu Wand (Sweep)

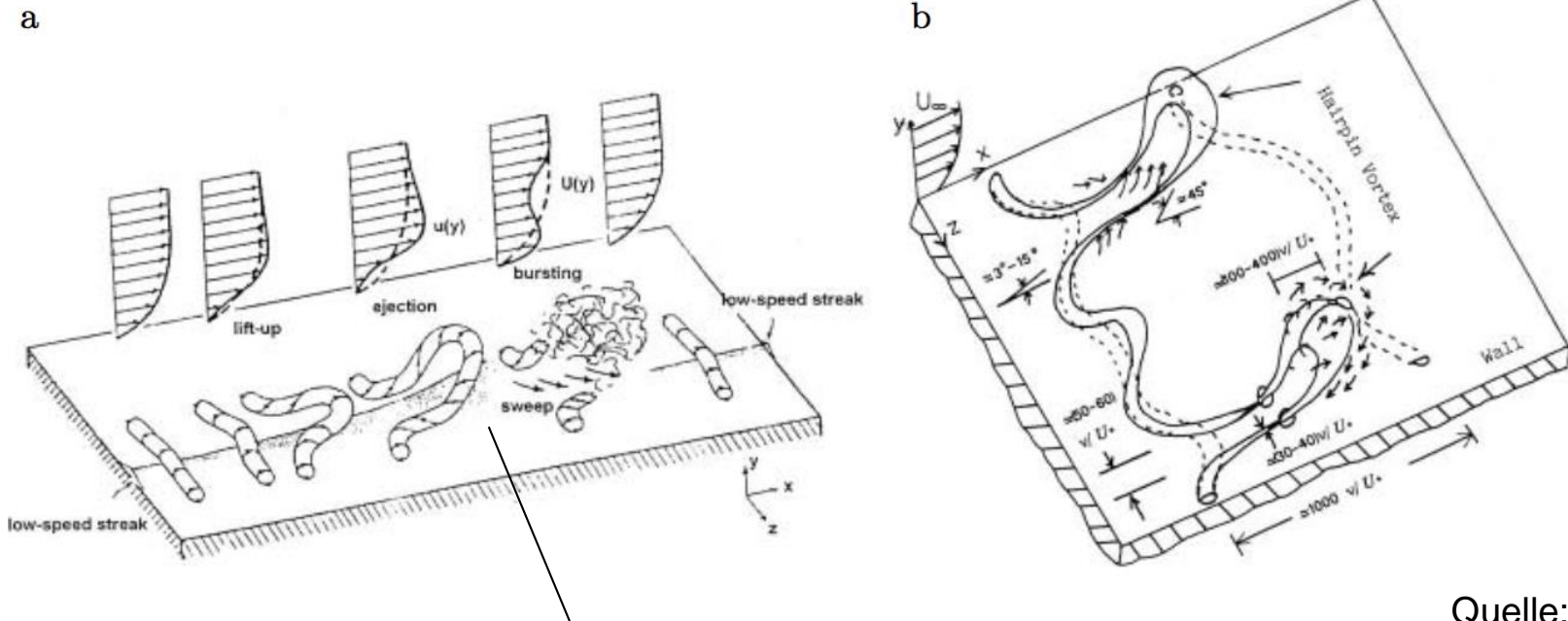


Quelle: [1]



- ▶ Detektion mittels Quadrantenanalyse

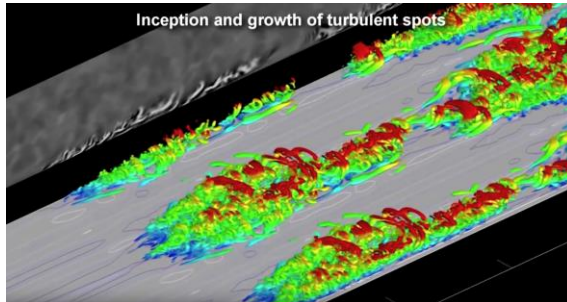
## ► Entwicklung und Zerfall der Streaks:



Quelle: [1]

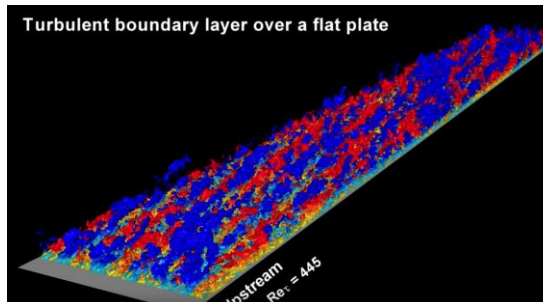
Sweeps: Strömung von schnellem Fluid zur Wand  
(Massenerhaltung)

## Transition



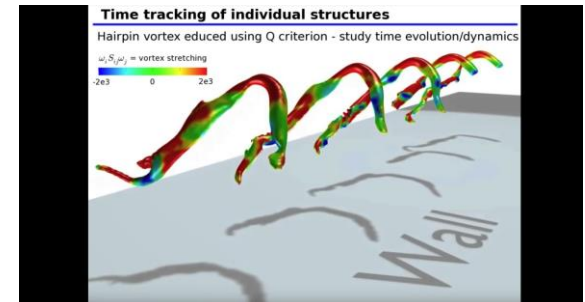
<https://youtu.be/wXsl4eyupUY#t=1m40>

## Schnelle und langsame Strukturen



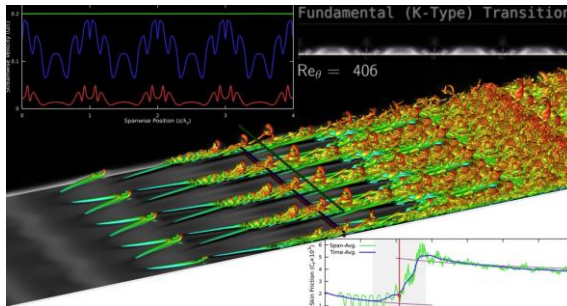
<https://youtu.be/lwAoNha2Jpc>

## Einzelner Hairpin



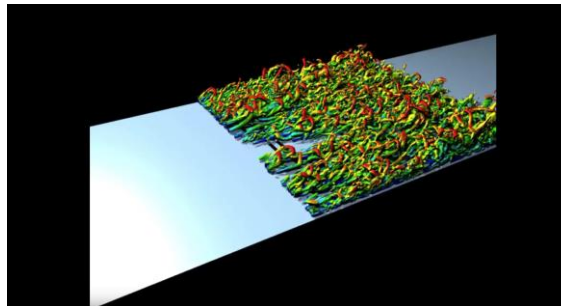
<https://youtu.be/XMmgKUBzG7E#t=6m15>

## Transition



<http://web.stanford.edu/group/fpc/videos/TransitionZPGFPBL.mp4>

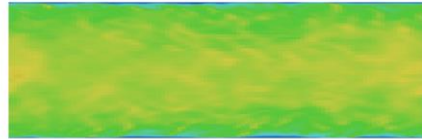
## Visualisierung turbulenter Strukturen



<https://youtu.be/GW2LRo2ZigQ>

## 12.2 Wandauflösende LES

- Auflösung der energiereichsten Skalen auch in Wandnähe



- Modellierung entsprechend der letzten Vorlesungen anwendbar

$$\nu_{SGS} \sim (y^+)^3$$



Richtiges Modellverhalten  
(selektives Modell)

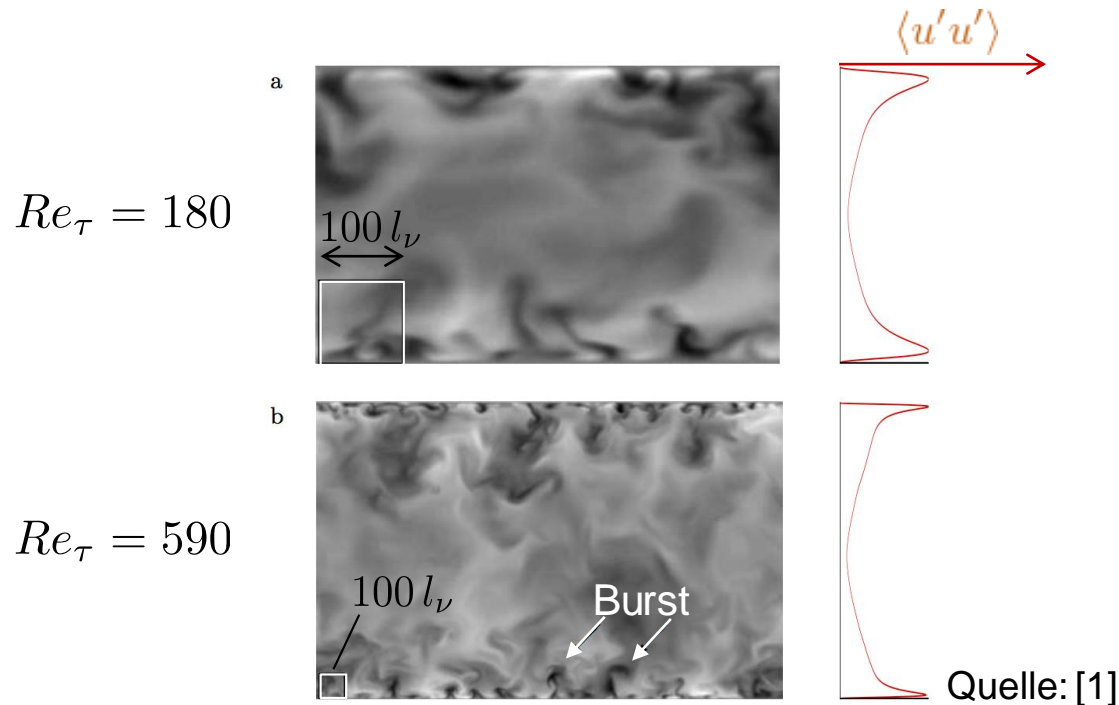
- WALE [1]
- $\sigma$ -Modell [2]

Dämpfungsfunktion  
(selektive Prozedur)

- Van Driest Dämpfung [3]  
(Achtung:  $\nu_{SGS} \sim (y^+)^2$ )
- Piomelli Dämpfung [4]

→ Hoher Detailgrad

- ▶ Ausreichende Auflösung muss sichergestellt werden:
  - ▶ Größe der wandnahen Strukturen sinkt mit steigender Reynolds-Zahl

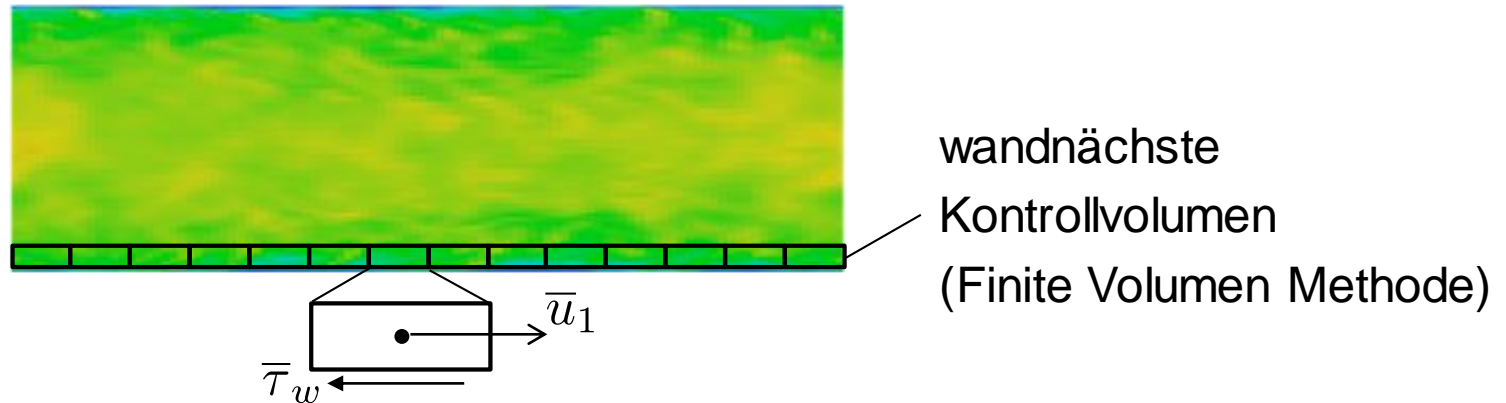


→ Höhere Auflösung mit steigender Reynolds-Zahl notwendig

## 12.3 Wandmodellierung



- ▶ Energietragende Strukturen werden nicht mehr aufgelöst
- ▶ Modellierung deren Einflusses notwendig
- ▶ Wichtig: Es werden keine neuen Informationen gewonnen!



- ▶ Implementierung CFD-Code:
  - ▶ Korrektur  $\nu_{SGS}$  wandnächste Zelle
  - ▶ Korrektur Wandschubspannung  
→ im Folgenden für Erläuterung verwendet

## ► Verwendung von Wandfunktionen

### ► RANS:

$$\langle \tau_w \rangle = \mathcal{F}_{RANS} (\langle u_1 \rangle, y_1, \dots)$$

z.B. aus

$$\langle u_1^+ \rangle = F(y^+)$$

$$\langle u_1^+ \rangle = \frac{\langle u_1 \rangle}{u_\tau}$$

$$y^+ = \frac{y u_\tau}{\nu}$$

$$u_\tau = \sqrt{\langle \tau_w \rangle / \rho}$$

→ meist iteratives Vorgehen notwendig

- ▶ Verwendung von Wandfunktionen

- ▶ LES analog:

$$\boxed{\overline{\tau}_w} = \mathcal{F}_{LES}(\overline{u}_1, y_1, \dots)$$

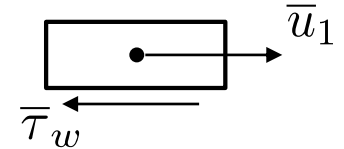
- ▶ Unterschied zu RANS:

- ▶ Wert der Wandschubspannung des instantanen gefilterten Geschwindigkeitsfeldes gesucht
  - ▶ keine Randbedingungen für Turbulenzgrößen benötigt (im Falle von 0-Glg. Modell)

## ► Wandfunktion von Schumann [1]

### ► Annahme:

- Linearer Zusammenhang, Verhältnis zeitlich gemittelter Größen als Proportionalitätskonstante
- gefilterte Geschwindigkeit und Wandschubspannung in Phase



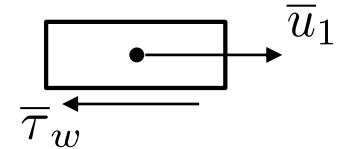
$$\bar{\tau}_w = \frac{\langle \bar{\tau}_w \rangle}{\langle \bar{u}_1 \rangle} \bar{u}_1$$

i.A. während Simulation zu ermitteln

- $\bar{u}_1$  Mittel über wandnächste Gitterzelle, daher Integration logarithmisches Wandgesetz:

$$\langle \bar{u}_1 \rangle = \sqrt{\frac{\langle \tau_w \rangle}{\rho}} \frac{1}{\kappa} \left( \log \left( \frac{y_1}{\nu} \sqrt{\frac{\langle \tau_w \rangle}{\rho}} E \right) - 1 \right)$$

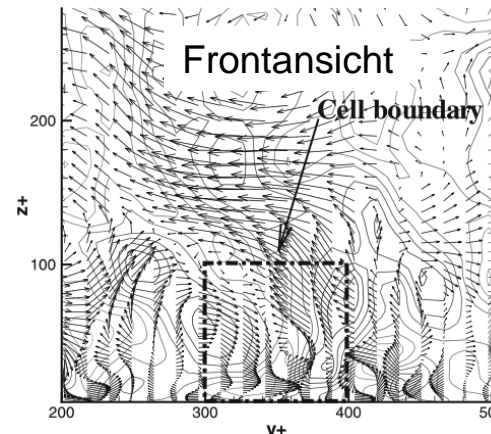
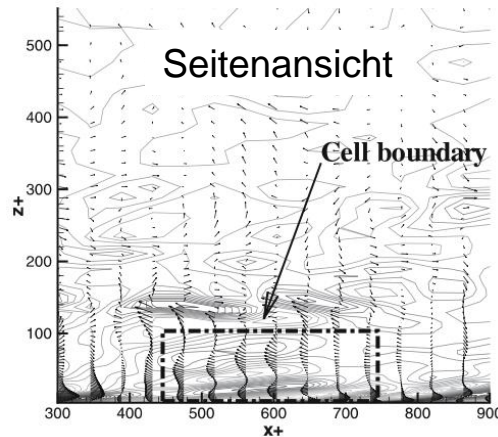
## ► Werner und Wengle [1]



- Momentane Aufprägung des eigentlich statistisch geltenden Zusammenhanges Linearer Zusammenhang, Verhältnis zeitlich gemittelter Größen als Proportionalitätskonstante

$$\bar{\tau}_w = \mathcal{F}_{RANS}(\bar{u}_1, y_1)$$

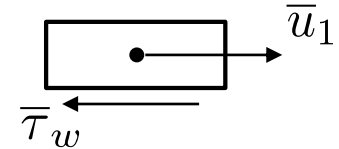
→ Voraussetzung: Filterung über genug wandnahe Strukturen in wandnächster Gitterzelle



Quelle: [2]

## ► Werner und Wengle [1]

- Approximation  $\langle u_1 \rangle$  mit  $m=1/7$ -Gesetz und 2-Schichtenansatz



$$\langle u^+ \rangle = \begin{cases} y^+ & ; 0 \leq y^+ \leq 11.81 \\ 8.3 (y^+)^{(1/7)} & ; 11.81 < y^+ \end{cases}$$

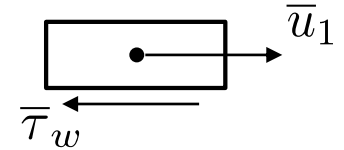
$m=1/7$

→ keine Iteration zur Bestimmung von  $\tau_w$  notwendig

- Integration über wandnächste Zelle liefert Ausdruck für Wandschubspannung:

$$\bar{\tau}_w = \begin{cases} \rho \frac{2\nu}{\Delta y_1} \bar{u}_1 & ; \bar{u}_1 \leq \frac{\nu}{2\Delta y_1} (y_m^+)^2 \\ \rho \left[ \frac{1-m}{2} C_m^{\frac{1+m}{1-m}} \left( \frac{\nu}{\Delta y_1} \right)^{1+m} + \frac{1+m}{C_m} \left( \frac{\nu}{\Delta y_1} \right)^m \bar{u}_1 \right]^{\frac{2}{1+m}} & ; \bar{u}_1 \geq \frac{\nu}{2\Delta y_1} (y_m^+)^2 \end{cases}$$

- ▶ Werner und Wengle [1]



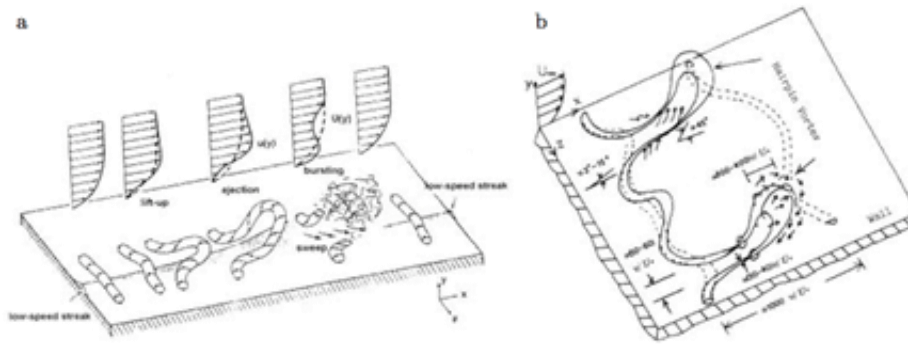
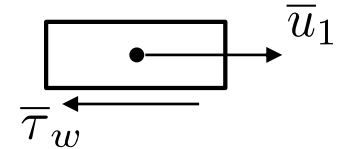
- ▶ Gemeinsamkeiten zu Modell von Schumann
  - ▶ Phasengleichheit zw. Wandschubspannung und Geschwindigkeit
- ▶ Unterschiede:
  - ▶ Berechnung Mittelwerte im Modell von Schumann notwendig, entfällt bei Ansatz von Werner und Wengle
  - ▶ Nichtlinearer Zusammenhang  $\tau_w$  und  $\bar{u}_1$  im Modell von Werner und Wengle



► Modellelementen und Verbesserungen:

► Phasengleichheit von  $\tau_w$  und  $\bar{u}_1$

→ Wandgebunden Strömungen weisen Phasenversatz von  $\tau_w$  und  $\bar{u}_1$  auf (angestellte Strömungsstrukturen):



Quelle: [1]

→ Wandfunktionen mit Verschiebung, z. B. [2]:

$$\bar{\tau}_w = \frac{\langle \bar{\tau}_w \rangle}{\langle \bar{u}_1 \rangle} \bar{u}_1 (x + \Delta_s, z) \quad \Delta_s = \cot(8^\circ)$$

► Problem bei komplexen Geometrien, z.B. Kanten, Ecken

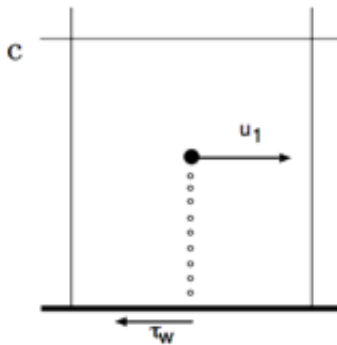
- Grenzschichtgleichungen (Tilde: Filterung nur in tangentialer Richtung):

$$\frac{\partial \tilde{u}_i}{\partial t} + \frac{\partial \tilde{u}_i \tilde{u}_j}{\partial x_j} = -\frac{1}{\rho} \frac{\partial \tilde{p}}{\partial x_i} + \frac{\partial}{\partial x_2} \left[ (\nu + \nu_t) \frac{\partial \tilde{u}_i}{\partial x_2} \right] \quad I = 1, 3, \quad j = 1, 2, 3$$

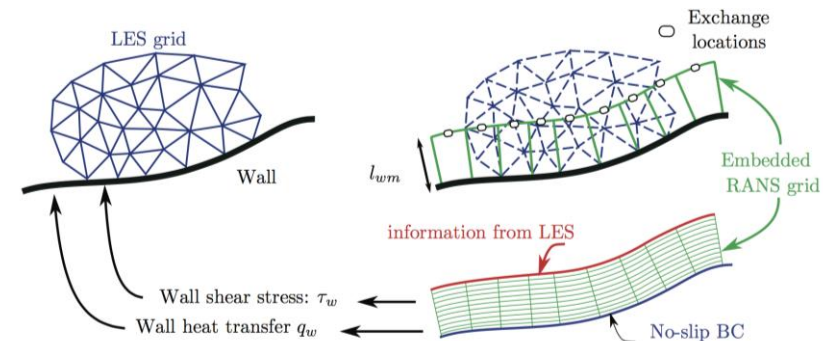
$$\frac{\partial \tilde{p}}{\partial x_2} = 0$$

$$\frac{\partial \tilde{u}_j}{\partial x_j} = 0$$

- Idee: Lösung dieser innerhalb wandnächster Zelle



Quelle: [1]



Quelle: [2]

## 12.4 Detached Eddy Simulation (DES)

- Grundlage: Spalart-Allmaras Modell [1] (siehe Vorlesungssatz 3)

$$\frac{\partial \tilde{\nu}}{\partial t} = M(\tilde{\nu})\tilde{\nu} + P(\tilde{\nu})\tilde{\nu} - D(\tilde{\nu})\tilde{\nu} + T \quad \text{mit} \quad \nu_t = \tilde{\nu} f_{\nu 1}$$

- Destruktionsterm  $D$  unter anderem an Abstand zur Wand (über  $d$  sowie die Funktionen  $f_w$  und  $f_{t2}$ ) gekoppelt

$$D(\tilde{\nu})\tilde{\nu} = \left[ c_{w1} f_w - \frac{c_{b1}}{\kappa^2} f_{t2} \right] \left[ \frac{\tilde{\nu}}{d} \right]^2$$

- Selektion zwischen RANS- und LES-Modellierung durch Modifikation des Längenmaßes  $d$  in [2]:

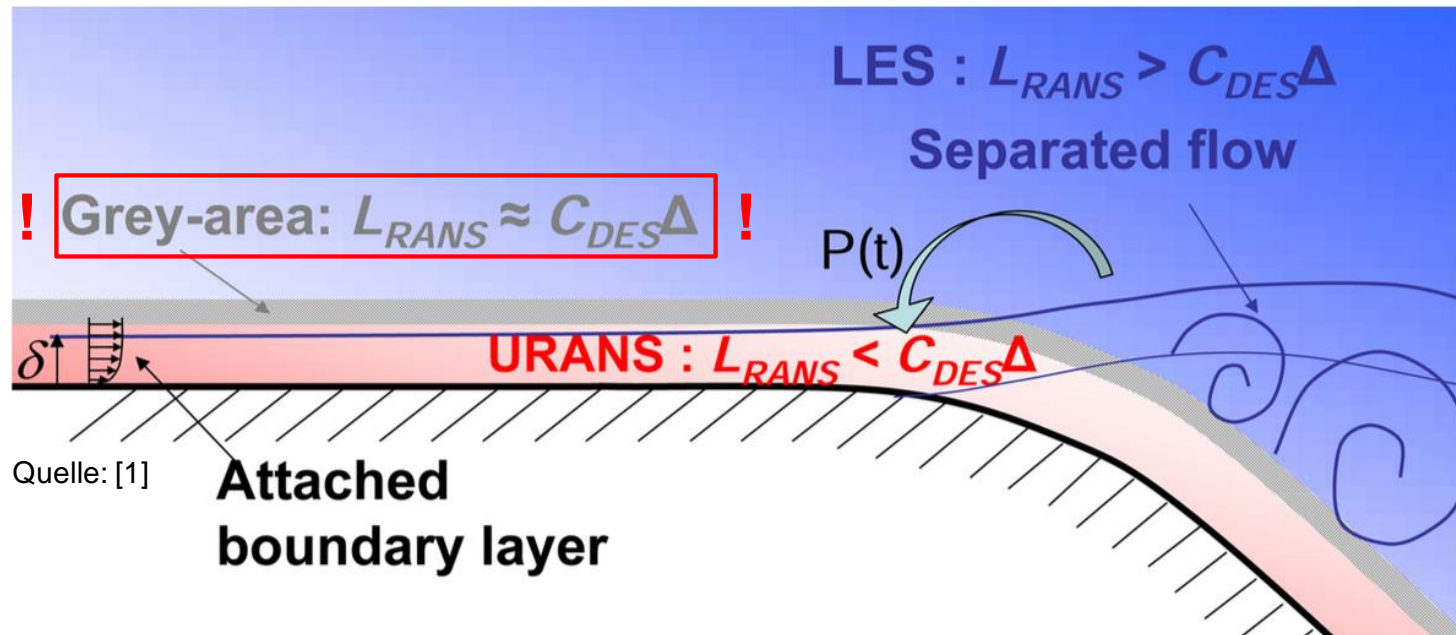
$$\tilde{d} = \min(d, C_{DES} \Delta) \quad \longrightarrow \quad D(\tilde{\nu})\tilde{\nu} = \left[ c_{w1} f_w - \frac{c_{b1}}{\kappa^2} f_{t2} \right] \left[ \frac{\tilde{\nu}}{\tilde{d}} \right]^2$$

[1] Spalart & Allmaras: A one equation model for aerodynamic flows, AIAA, 1992

[2] Spalart, P.; Jou, W.-H.; Strelets, M.; Allmaras, S.: Comments on the feasibility of LES for wings, and on a hybrid RANS/LES approach. In: C. Liu; Z. Liu (eds.), Advances in DNS/LES. Greyden Press 1997

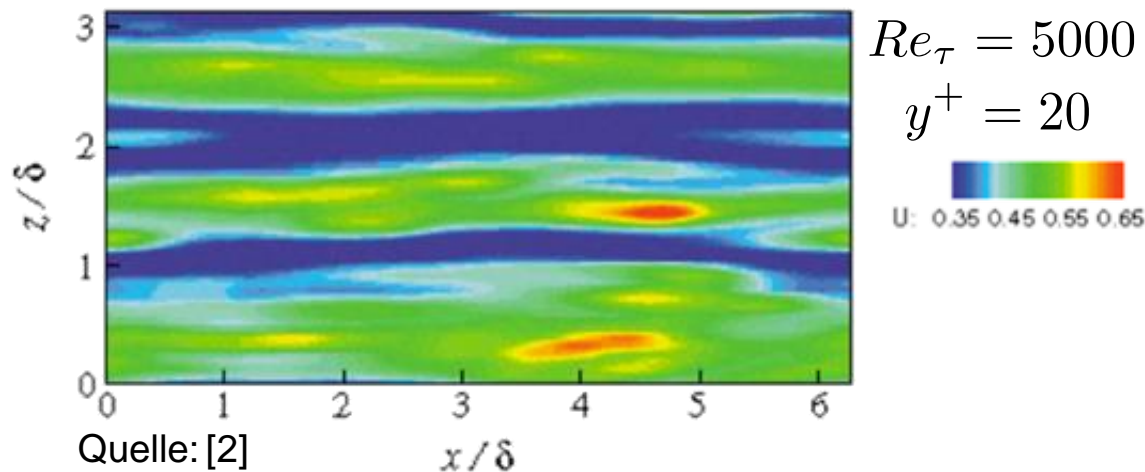
- Visualisierung Modellierungsbereiche:

$$L_{DES} = \min(L_{RANS}, C_{DES} \Delta)$$



- RANS in Wandnähe, LES in Kernströmung  
→ Simulation abgelöster Wirbel, „Detached Eddy Simulation“

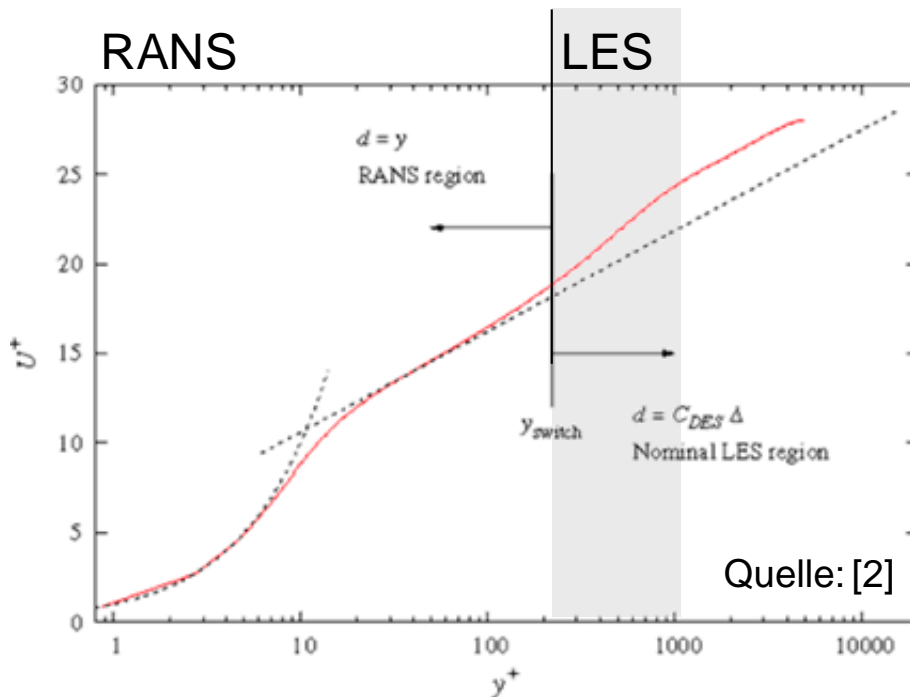
- ▶ Beobachtung in [1], [2]:
  - ▶ Wandnahe Strukturen gitterabhängig
  - ▶ Ausbildung von „Super-Streaks“: Streaks mit einer Ausdehnung von ungefähr 260 Wandeinheiten in Strömungsrichtung  
→ Near-wall cycle falsch abgebildet



[1] Baggett JS. On the feasibility of merging LES with RANS in the near-wall region of attached turbulent flows. In: Annual research briefs—1998, Center for Turbulence Research. Stanford, CA: Stanford University; 1998. p. 267–77

[2] Keating A, Piomelli U. A dynamic stochastic forcing method as a wall-layer model for large-eddy simulation. J Turbul 2006;7(12):1–24

- Beobachtung in [1], [2]:
  - Resultat: „Logarithmic law mismatch“ (LLM)
  - Erklärung anhand Schubspannung in innerer Zone



$$\frac{\tau_w}{\rho} = \nu \frac{\partial \langle u_1 \rangle}{\partial x_2} - \underbrace{\langle u'_1 u'_2 \rangle}_{\text{Summe über Grenzschicht konst.}}$$

Gegeben durch Druckgradient

Eintritt LES-Bereich:

$$\left. \begin{array}{l} \nu_{ges} = \nu + \nu_t \downarrow \\ \langle u'_1 u'_2 \rangle \approx const. \end{array} \right\} \rightarrow \frac{\partial \langle u_1 \rangle}{\partial x_2} \uparrow$$

[1] Baggett JS. On the feasibility of merging LES with RANS in the near-wall region of attached turbulent flows. In: Annual research briefs—1998, Center for Turbulence Research. Stanford, CA: Stanford University; 1998. p. 267–77

[2] Keating A, Piomelli U. A dynamic stochastic forcing method as a wall-layer model for large-eddy simulation. J Turbul 2006;7(12):1–24



- ▶ Stochastic Forcing [1], weiterentwickelt in [2]:
  - ▶ Isotroper Kraftterm (gaußverteilt), Amplitude frei gewählt um „Super Streaks“ zu stören [1]

$$\frac{\partial \bar{u}_i}{\partial t} + \frac{\partial \bar{u}_i \bar{u}_j}{\partial x_j} = -\frac{1}{\rho} \frac{\partial \bar{p}}{\partial x_i} + \nu \frac{\partial^2 \bar{u}_i}{\partial x_j^2} - \frac{\partial \tau_{ij}^{FS}}{\partial x_j} + f_i$$

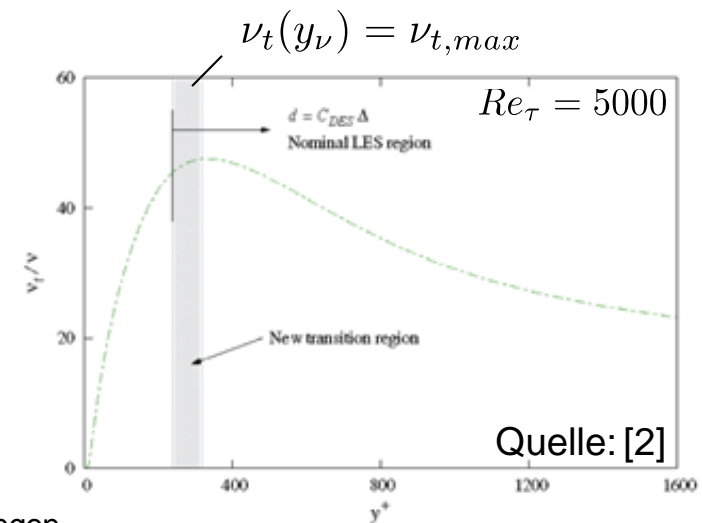
- ▶ Bestimmung der Amplitude  $A$  mit Ziel, Größe der Übergangsschicht zu minimieren [2]

$$A^{(n+1)} = A^n + \alpha e$$

$$e = \int_{y_{switch}}^{y_\nu} \left( -\langle \nu \rangle \frac{d\langle u_1 \rangle}{dx_2} - \langle u'_1 u'_2 \rangle \right)$$

modellierte Reynoldsspannungen

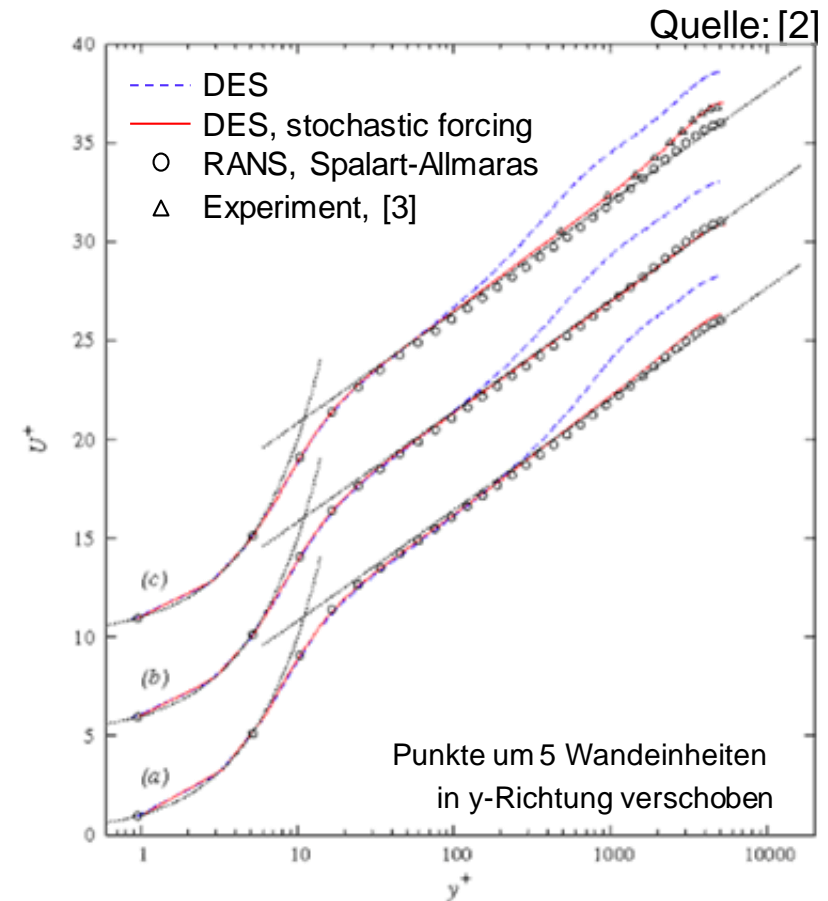
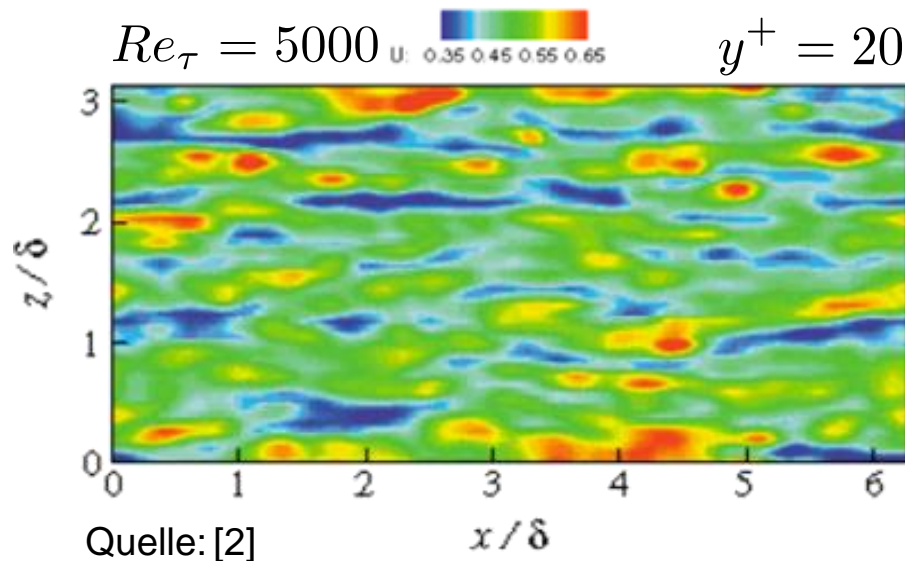
aufgelöste Reynoldsspannungen



[1] Piomelli U, Balaras E, Pasinato H, Squires KD, Spalart PR. The inner-outer layer interface in large-eddy simulations with wall-layer models. Int J Heat Fluid Flow 2003;24:538–50. |

[2] Keating A, Piomelli U. A dynamic stochastic forcing method as a wall-layer model for large-eddy simulation. J Turbul 2006;7(12):1–24

- Stochastic Forcing [1], weiterentwickelt in [2]:
- Resultat:



[1] Piomelli U, Balaras E, Pasinato H, Squires KD, Spalart PR. The inner-outer layer interface in large-eddy simulations with wall-layer models. Int J Heat Fluid Flow 2003;24:538–50. |

[2] Keating A, Piomelli U. A dynamic stochastic forcing method as a wall-layer model for large-eddy simulation. J Turbul 2006;7(12):1–24

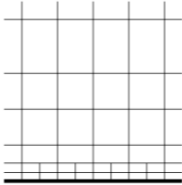
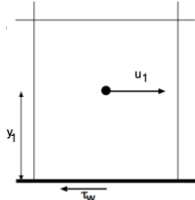
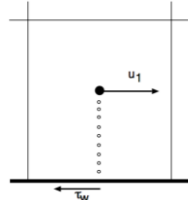
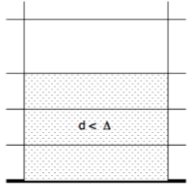
- ▶ IDDES [1]:
  - ▶ Anpassung LES-Längenmaß:
    - ▶ dritte Wurzel aus Zellvolumen u.U. kein gutes Längenmaß für LES wandgebundener Strömung (da Anpassung von Modellkonstanten notwendig)
    - ▶ Einbezug aller Kantenlängen und Abstand zur Wand  $d_w$

$$\Delta = f(h_x, h_y, h_z, d_w)$$

- ▶ Reduktion der Wirbelviskosität im inneren Bereich über empirisch geprägte Blending-Funktionen



## 12.5 Zusammenfassung

Bezeichnung / Klassifizierung	Wandauflösende LES (WR-LES)	LES mit Wandmodell (wall modelled LES, WM-LES)		
		LES mit Wandfunktion (WF-LES)	Zonale Modelle (zonal LES)	
			Zweischichten- modelle (Two-Layer model)	DES
Typische Gitter				
Randbedi- ngung an Wand	Haftbedingung	Approximierte Randbedingung (Wandschubspannung)		
				Haftbed.

Quelle Abbildungen: [1]

Tab. 8.1 Obergrenzen bzw. Bereiche für die Wahl des numerischen Gitters in Wandnähe je nach verwendeter Simulationemethode. Dargestellt sind Angaben aus der Literatur und eigene Empfehlungen. WF-LES sei für die Grenzschicht in einer voll turbulenten Strömung betrachtet. Der wandnächste Gitterpunkt sollte i.A. bei  $y_1 = \Delta_y/2$  liegen. <sup>(1)</sup> In dieser Referenz wird jedoch  $\Delta_y = 0,005\delta$  verwendet. <sup>(2)</sup>  $s$  ist die Gitterstreckung in  $y$ -Richtung.

Methode	$\Delta_x^+$	$\Delta_y^+$	$\Delta_z^+$	Quelle
WR-LES	10	2	5	[527] in [508]
	100	2	20	[86]
	50...100	2	15...40	[462]
	50	2	15	[diese Arbeit]
WF-LES	100...600	30...150	100...300	[462]
		20...200		[508]
		$\Delta_y < \delta/5$		[370] <sup>(1)</sup>
	$\Delta_x < \delta/5$	$\Delta_y < \delta/5$	$\Delta_z \approx \Delta_y$	[diese Arbeit]
DES, viskoser RANS-Bereich	$< \infty$	2	$< \infty$	$s < 1,25$ <sup>(2)</sup> [552]
DES, äußerer RANS-Bereich	$< \infty$	$\Delta_y < \delta/10$	$< \infty$	[552]



## 12.6 Lernziele





- ▶ die Relevanz von Wänden für die Turbulenzmodellierung erläutern können
- ▶ die typischen Verläufe für Produktion, Dissipation und Diffusion in der Nähe fester Wände aufzeichnen können
- ▶ Streaks als Hauptquelle für Turbulenzproduktion im Buffer-Layer charakterisieren können
- ▶ Verschiedene Wandfunktionen im LES Kontext nennen und von einander differenzieren können
- ▶ Die Idee hinter Detached Eddy Simulationen erklären können
- ▶ Simulationsstrategien in Wandnähe kategorisieren und einordnen können